#### Partie 1: Thermokast CCINP MP 2022

17. (a) Voici les configurations électroniques à l'état fondamental demandées :

C  $1s^22s^22p^2$ 

O 
$$1s^22s^22p^4$$

Voici les schémas de Lewis demandés :

$$H-\overline{Q}-H$$
  $\lozenge=C=\lozenge$   $C=0$   $H-C-H$ 

(b) On écrit les réactions de combustion complète et incomplète du méthane :

Q18

$$CH_{4(g)} + 2 O_{2(g)} = CO_{2(g)} + 2 H_2O_{(liq)}$$
 (1)  
 $CH_{4(g)} + \frac{3}{2} O_{2(g)} = CO_{(g)} + 2 H_2O_{(liq)}$  (2)

Remarque : L'énoncé ne le précise pas, mais vu les données thermodynamiques dont on dispose, on considère que l'eau formée est à l'état liquide.

(c) On utilise la loi de Hess, en sachant que l'enthalpie standard de formation de  $O_{2(g)}$  est nulle :

$$\begin{split} & \Delta_r H_1^0 = \Delta_f H^0(CO_{2(g)}) + 2\Delta_f H^0(H_2O_{(liq)}) - \Delta_f H^0(CH_{4(g)}) \\ & \Delta_r H_2^0 = \Delta_f H^0(CO_{(g)}) + 2\Delta_f H^0(H_2O_{(liq)}) - \Delta_f H^0(CH_{4(g)}) \end{split}$$

AN: 
$$\Delta_r H_1^0 = -890,7 \text{ kJ.mol}^{-1}$$
 et  $\Delta_r H_2^0 = -608,2 \text{ kJ.mol}^{-1}$ 

(d) On cherche la quantité de matière de méthane contenue dans la bulle

$$n_{CH_4} = \frac{PV}{RT}$$
 avec  $V = \frac{4}{3}\pi r^3$ 

L'énergie maximale libérée sera obtenue pour une combustion complète (1) et totale du méthane. Pour une combustion effectuée de manière isobare, le premier principe s'écrit :

$$\Delta H = n_{CH_4} \Delta_r H_1^0 = Q_p$$

AN: 
$$n = 1, 2.10^7$$
 mol et  $Q_p = -1, 1.10^{13}$  J

La quantité de matière de dioxygène nécessaire pour réaliser cette combustion vaut :

$$n_{O_2} = 2n_{CH_A}$$
, soit une quantité de matière d'air  $n_{air} = 5n_{O_2} = 10n_{CH_A}$ 

On en déduit le volume d'air nécessaire :

$$V_{\rm air} = \frac{n_{\rm air}RT}{P}$$

AN: 
$$V_{\text{air}} = 2,7.10^6 \,\text{m}^3$$

On cherche ici à calculer une température de flamme isobare adiabatique. On applique le premier principe au système constitué du méthane dans une bulle et du volume d'air nécessaire pour l'oxyder. La transformation étant isobare adiabatique, on trouve :  $\Delta H = Q_n = 0$ .

- A l'instant initial, le système est constitué de n moles de CH<sub>4(g)</sub>, 2n moles de O<sub>2(g)</sub> et 8n moles de N<sub>2(g)</sub> à la température T<sub>i</sub> = 27°C.
- A l'instant final, le système est constitué de 2n moles de  $H_2O_{(g)}$ , n moles de  $CO_{2(g)}$  et 8n moles de  $N_{2(g)}$  à la température  $T_f$  inconnue.

On utilise les propriétés de fonction d'état de l'enthalpie en calculer ses variations le long du chemin suivant :

- Étape (1): combustion complète isotherme:  $\Delta H_1 = n\Delta_r H_1^0$
- Étape (2) : changement de température et d'état pour les produits de la réaction :

$$\Delta H_2 = 9nC_n(T_f - T_i) + \Delta H_{\text{eau}}$$

On calcule la variation d'enthalpie de l'eau en décomposant la transformation en 3 étapes :

— Réchauffement de l'eau liquide jusqu'à la température de vaporisation  $T_{\text{vap}} = 100^{\circ} C$ :

$$\Delta H_{\text{eau},1} = 2nC'_{p}(T_{\text{vap}} - T_{i})$$

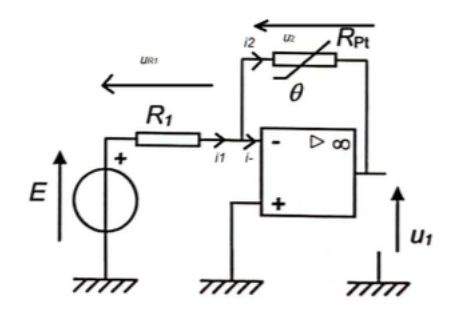
- Vaporisation isotherme isobare de l'eau à  $T_{\text{vap}} = 100^{\circ}C$ :  $\Delta H_{\text{eau},2} = 2nL_{\text{vap}}$
- Réchauffement de la vapeur d'eau jusqu'à la température finale  $T_f: \Delta H_{\text{eau},3} = 2nC_p(T_f T_{\text{vap}})$

On obtient alors:

$$0 = n\Delta_r H_1^0 + 9nC_p(T_f - T_i) + 2nC_p'(T_{\text{vap}} - T_i) + 2nL_{\text{vap}} + 2nC_p(T_f - T_{\text{vap}})$$

$$\text{soit} T_f = \frac{-\Delta_r H_1^0 + 9C_pT_i - 2C_p'(T_{\text{vap}} - T_i) - 2L_{\text{vap}} + 2C_pT_{\text{vap}}}{11C_p}$$

AN:  $T_f = 3,8.10^3 \,\mathrm{K}$ : Cette température est bien supérieure à la température d'auto-inflammation des herbes sèches et brindilles, on en déduit que ces bulles de méthane produisent de violents incendies.



# Partie 2 : Chauffage de l'eau d'une piscine CCINP TSI 2025

**Q39.** On applique la loi des nœuds à l'entrée non inverseuse :  $i_1 = i^- + i_2$ ; comme l'ALI est idéal,  $i^- = 0$  et  $i_1 = i_2$ . En termes de potentiel :

$$\frac{u_{R_1}}{R_1} = \frac{u_2}{R_{\text{Pt}}} \Longleftrightarrow \frac{E - v^-}{R_1} = \frac{v^- - u_1}{R_{\text{Pt}}}$$

On a une rétroaction sur l'entrée inverseuse, on peut donc supposer l'ALI en régime linéaire. Comme l'ALI est idéal,  $v^- = v^+ = 0$ . On trouve finalement  $u_1 = -\frac{R_{\rm Pt}}{R_1}E$ .

**Q40.** La sortie de l'ALI étant bornée  $(u_1 < V_{SAT})$ , ce fonctionnement ne fonctionnera pas correctement si  $u_1$  devrait dépasser  $V_{SAT}$ .

**Q41.** On remplace : 
$$u_1 = -\frac{R_0(1+a\theta)}{R_1}E = u_0 - |s|\theta$$
 donc la sensabilité est donnée par  $s = \frac{R_0a}{R_1}E$ 

**Q42.** On fait l'application numérique :  $\underline{s} = 3,85.10^{-3} \text{ V} \cdot {}^{\circ}\text{C}^{-1}$ .

 $\mathbf{Q43}$ . La température du bassin va varier au maximum de 6°C ce qui correspondra à une variation de tension totale d'environ 20 mV ce qui risque d'être en dessous de la valeur de seuil du CAN qui risque alors de ne pas suivre correctement l'évolution de la température.

Q44.  $u_e$  est une tension purement sinusoïdale qui ne comporte donc qu'un harmonique de fréquence 50 Hz et qui a une valeur moyenne de 2 V, c'est à dire une composante continue. Le spectre correct est donc celui du graphe 2. Le graphe 1 ne convient pas car il ne comporte pas de composante continue, Le graphe 3 ne correspond pas à une tension sinusoïdale, quant au graphe 4, ce n'est pas un spectre en fréquence, mais l'allure (temporelle) du signal.

Q45. À basses fréquences, le condensateur est équivalent à un circuit ouvert donc  $u_s(t) = u_e(t)$ : le filtre est passant. À hautes fréquences, le condensateur est équivalent à un circuit fermé donc  $u_s(t) = 0$  et le filtre est coupé. Le circuit est donc un filtre passe-bas. En choisissant convenablement sa fréquence de coupure, on pourra donc isoler la composante continue du signal d'entrée.

Q46. H<sub>0</sub> est le gain maximum du filtre. Ici, en appliquant le pont diviseur de tension, il vient :

$$\underline{H} = \frac{\frac{1}{jC\omega}}{R + \frac{1}{jC\omega}} = \frac{1}{1 + jRC\omega} \text{ donc } \underline{H_0 = 1}$$

**Q47.**  $G_{dB} = 20 \log(|\underline{H}|)$  or si  $\omega \ll \omega_c$  alors  $\underline{H} \xrightarrow{\omega \to 0} 1$  donc  $G_{dB} \approx 0$  si  $\omega \ll \omega_c$ 

Q48. La fréquence de coupure à -3 dB est la fréquence  $f_c$  pour laquelle  $G_{dB}(f_c) = G_{dB,max} - 3$ . Cela correspond aussi à la valeur pour laquelle  $|\underline{H}(f_c)| = \frac{H_0}{\sqrt{2}}$ . ici,  $|\underline{H}| = \frac{H_0}{\sqrt{1 + RC\omega}}$  et on veut donc  $\sqrt{1 + RC\omega_c} = \sqrt{2}$  soit  $\omega_c = \frac{1}{RC}$  soit

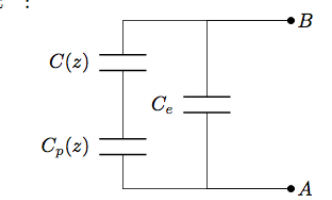
$$f_c = \frac{1}{2\pi RC}$$

**Q49.** Si l'on choisit  $f_c = 0,5$  Hz, alors f = 50 Hz se situe 2 décades au dessus de  $f_c$  et elle sera atténuée d'environ 40 dB. On peut donc considérer qu'il ne reste que la composante continue :  $u_s(t) = 2$  V.

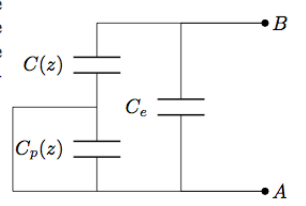
# Partie 3 : Capteur capacitif E3A PSI 2013

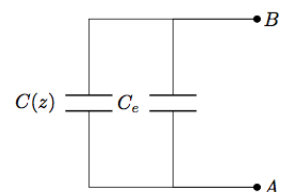
 ${\bf A.5.} \ \ {\bf La} \ \ \ {\bf capacit\'e} \ \ \, {\bf \acute{e}quivalente} \ \ \, {\bf \grave{a}} \ \ \, {\bf l'association} \ \ \, {\bf repr\'esent\'ee} \ \ \, {\bf ci-contre} \ \ \, {\bf est} \ \ \, :$ 

$$C_{AB} = C_e + \frac{C(z)C_p(z)}{C(z) + C_p(z)}$$



A.6. Relier électriquement l'armature extérieure de la sonde de mesure à la surface métallique permet de s'affranchir de la capacité parasite  $C_p$ .





A.7. D'après A.5 et dans la limite  $C_p \to \infty$ :  $C_{AB}(z) = \frac{\pi r^2 \varepsilon_0}{z} + \frac{2\pi \ell \varepsilon_0}{\ln \frac{r+\varepsilon}{r}}$ 

Au premier ordre en 
$$rac{e}{r}:C_{AB}(z)\simeqrac{\pi r^2arepsilon_0}{z}+2\pi\ellarepsilon_0rac{e}{e}$$

$$C_{AB}(z) \simeq \pi arepsilon_0 r \left(rac{r}{z} + rac{2\ell}{e}
ight)$$

A.8. Avec 
$$z = z_0 + \Delta z$$
,  $C_{AB} \simeq \pi \varepsilon_0 r \left( \frac{r}{z_0 + \Delta z} + \frac{2\ell}{e} \right)$ 

Donc au premier ordre en 
$$\frac{\Delta z}{z_0}$$
:  $C_{AB} \simeq \pi \varepsilon_0 r \left(\frac{r}{z_0} \left(1 - \frac{\Delta z}{z_0}\right) + \frac{2\ell}{e}\right)$ 

Donc 
$$C_{AB} \simeq \pi \varepsilon_0 r \left( \frac{r}{z_0} + \frac{2\ell}{e} \right) \left( 1 - \frac{\frac{r}{z_0}}{\frac{r}{z_0} + \frac{2\ell}{e}} \frac{\Delta z}{z_0} \right)$$

Donc 
$$C_{AB} \simeq \pi \varepsilon_0 r \left(\frac{r}{z_0} + \frac{2\ell}{e}\right) \left(1 - \frac{re}{re + 2\ell z_0} \frac{\Delta z}{z_0}\right)$$

$$\boxed{ \text{On pose} \left\{ \begin{array}{l} C_0 = \pi \varepsilon_0 r \left( \frac{r}{z_0} + \frac{2\ell}{e} \right) \\ k = -\frac{re}{re + 2\ell z_0} \end{array} \right. \text{alors } C_{AB} = C_0 \left( 1 + k \frac{\Delta z}{z_0} \right) }$$

Soit 
$$C_0 = 7 \,\mathrm{pF}$$
 et  $k = -0.2$ 

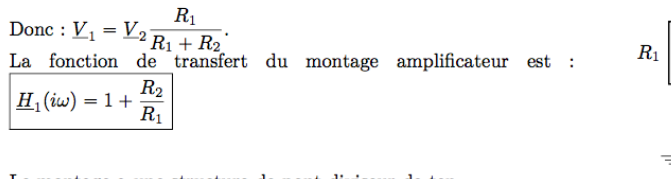
## Conditionnement du capteur

#### B.1. Mise en équation :

$$\left\{ \begin{array}{ll} V_- = \underline{V}_1 & \text{AO id\'eal en r\'egime lin\'eaire} \\ V_- = \underline{V}_2 \frac{R_1}{R_1 + R_2} & \text{pont diviseur de tension} \end{array} \right.$$

$$\mathrm{Donc}: \underline{V}_1 = \underline{V}_2 \frac{R_1}{R_1 + R_2}.$$

$$\underline{H}_1(i\omega) = 1 + \frac{R_2}{R_1}$$



Le montage a une structure de pont diviseur de tension:

$$\underline{V}_4 = \underline{V}_3 \frac{\frac{R}{1 + RCj\omega}}{R + \frac{1}{C_{AB}j\omega} + \frac{R}{1 + RCj\omega}}$$

Donc:

$$\frac{\underline{V_4}}{\underline{V_3}} = \frac{RC_{AB}j\omega}{RC_{AB}j\omega(1+RCj\omega)+1+RCj\omega+RC_{AB}j\omega}$$

La fonction de transfert du filtre de Wien est :  $\underline{H_2(j\omega) = \frac{RC_{AB}j\omega}{1 + R(C + 2C_{AB})j\omega + R^2CC_{AB}(j\omega)^2}}$ 

Le montage est un filtre passe bande du second ordre.

# B.2. La fonction de transfert est : $\underline{H}(j\omega)=\underline{H}_1(j\omega)\underline{H}_2(j\omega)$

$$\mathrm{Donc}: \boxed{\frac{H(j\omega) = \left(1 + \frac{R_2}{R_1}\right) \frac{RC_{AB}j\omega}{1 + R(C + 2C_{AB})j\omega + R^2CC_{AB}(j\omega)^2}}$$

La tension  $V_a$  vérifie alors :

$$\left[1+R(C+2C_{AB})j\omega+R^2CC_{AB}(j\omega)^2\right]\underline{V}_s=\left(1+\frac{R_2}{R_1}\right)RC_{AB}j\omega\underline{V}_s$$

$$\left[1 + R\left(C + \left(1 - \frac{R_2}{R_1}\right)C_{AB}\right)j\omega + R^2CC_{AB}(j\omega)^2\right]\underline{V}_s = 0$$

L'équation différentielle vérifiée par  $v_s(t)$  est alors

$$R^2CC_{AB}\frac{\mathrm{d}^2v_s}{\mathrm{d}t^2} + R\left(C + \left(1 - \frac{R_2}{R_1}\right)C_{AB}\right)\frac{\mathrm{d}v_s}{\mathrm{d}t} + v_s(t) = 0$$

Le système se comporte comme un oscillateur harmonique si :  $C + \left(1 - \frac{R_2}{R_1}\right) C_{AB} = 0$ 

Donc, la condition d'oscillation sinusoïdale est  $R_2 = R_1 \left( 1 + \frac{C}{C_{AB}} \right)$ 

$$v_s(t)$$
 vérifie alors :  $R^2 C C_{AB} \frac{\mathrm{d}^2 v_s}{\mathrm{d}t^2} + v_s(t) = 0$ 

La pulsation des oscillations est  $\omega_0 = \frac{1}{R\sqrt{CC_{AB}}}$ 

$${\rm B.3.} \ \, \boxed{R_2 = 2R_1 \; {\rm donc} \; R_2 = 200 \, {\rm k}\Omega} \ \, {\rm et} \ \, \boxed{\omega_0 = \frac{1}{RC} \; {\rm donc} \; \omega_0 = 1.4 \times 10^6 \, {\rm rad} \, {\rm s}^{-1}}$$

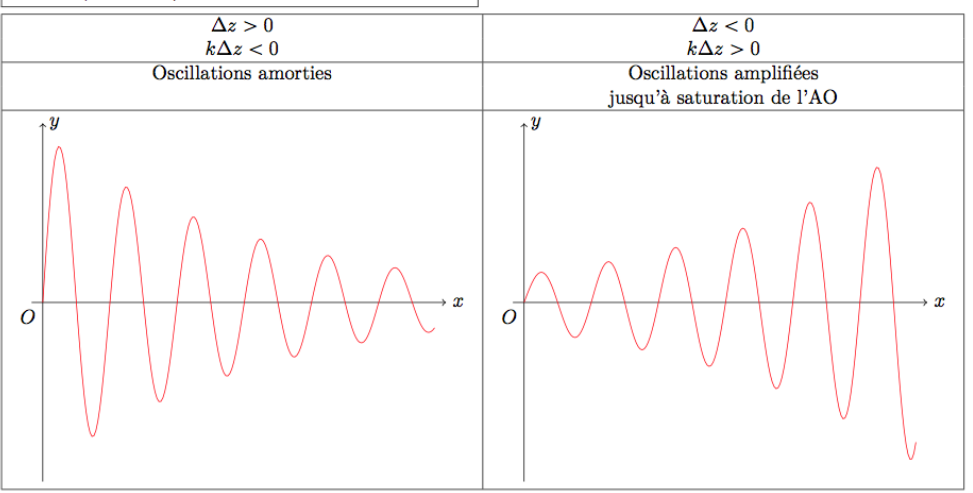
B.4. D'après A.8 : 
$$C_{AB}=C_0\left(1+k\frac{\Delta z}{z_0}\right)$$
 et  $R_2=2R_1.$ 

L'équation différentielle vérifiée par  $v_s(t)$  est donc

$$(RC_0)^2 \left(1 + k\frac{\Delta z}{z_0}\right)^2 \frac{\mathrm{d}^2 v_s}{\mathrm{d}t^2} + RC_0 \left[1 - \left(1 + k\frac{\Delta z}{z_0}\right)\right] \frac{\mathrm{d}v_s}{\mathrm{d}t} + v_s(t) = 0$$

Donc, au premier ordre en  $\frac{\Delta z}{z}$ :

$$(RC_0)^2 \left( 1 + 2k \frac{\Delta z}{z_0} \right) \frac{\mathrm{d}^2 v_s}{\mathrm{d}t^2} + RC_0 k \frac{\Delta z}{z_0} \frac{\mathrm{d}v_s}{\mathrm{d}t} + v_s(t) = 0$$



B.5. Avec une valeur adaptée de  $R_2$ ,  $v_s(t)$  vérifie :  $\frac{1}{\omega_0^2} \left(1 + 2k \frac{\Delta z}{z_0}\right) \frac{\mathrm{d}^2 v_s}{\mathrm{d}t^2} + v_s(t) = 0$ La pulsations des oscillations est alors :  $\omega_{\rm osc} = \omega_0 \left(1 - k \frac{\Delta z}{z_0}\right)$ 

# Conditionnement du signal

C.1. Le montage présente un pont diviseur de tension en  $e^+$ :  $e^+ = V_2 \frac{1}{1 + R_3 C_3 j \omega}$ 

La loi des nœuds en terme de potentiel en  $e^-$  est :  $\frac{v_2 - e^-}{R_2} + \frac{v_5 - e^-}{R_2} = 0$ 

Donc 
$$e^- = \frac{1}{2}(v_2 + v_5)$$

L'AO est idéal et fonctionne en régime linéaire :  $e^+ = e^-$ . Donc  $\underline{V}_2 \frac{1}{1 + R_2 C_2 i \omega} = \frac{1}{2} (\underline{V}_2 + \underline{V}_5)$ 

La transmittance du circuit est alors :  $T_5 = \frac{1 - R_3 C_3 j \omega}{1 + R_3 C_3 j \omega}$ 

Comme 
$$|\underline{T}_5| = 1$$
,  $V_5 = V_2$ .

Le déphasage  $\varphi$  entre  $v_5$  et  $v_2$  est donné par  $\varphi = \arg(\underline{T}_5)$ 

Donc  $\varphi = 2\arg(1 - R_3C_3j\omega)$ :  $\varphi = -2\arctan(R_3C_3\omega)$ 

Le montage étudié est un passe-tout déphaseur.

## C.2. Le bloc B est un multiplieur.

$$\operatorname{Avec} \left\{ \begin{array}{l} v_2(t) = V_0 \sin(\omega t) \\ v_5(t) = V_0 \sin(\omega t + \varphi) \\ v_6(t) = \frac{v_2(t)v_5(t)}{E} \end{array} \right., \text{ d'où } \boxed{ \begin{array}{l} v_6(t) = \frac{V_0^2}{2E} \left(\cos \varphi - \cos(2\omega t + \varphi)\right) \\ \end{array} }$$

C.3. Le montage est un diviseur de tension :  $T_{SC} = \frac{1}{1 + R_A C_A j \omega}$ 

L'étage C est un filtre passe-bas du premier ordre, de pulsation de coupure  $\omega_c=\frac{1}{R_4C_4}$ 

Si  $\omega \ll \omega_c$ , la partie sinusoïdale de  $v_6(t)$  est coupée par la filtre C, tandis que la partie continue est transmise sans atténuation.

Si 
$$\omega \ll \omega_c$$
,  $v_{sc} = \frac{V_0^2}{2E} \cos \varphi$ 

C.4.  $v_{sc} = \frac{V_0^2}{2E} \cos \varphi$ , donc  $v_{sc} = \frac{V_0^2}{2E} \frac{1 - \tan^2 \frac{\varphi}{2}}{1 + \tan^2 \frac{\varphi}{2}}$ .

D'après C.1 
$$\tan \frac{\varphi}{2} = -R_3 C_3 \omega$$
, donc :  $V_{sc} = \frac{V_0^2}{2E} \frac{1 - (R_3 C_3 \omega)^2}{1 + (R_3 C_3 \omega)^2}$ .

 $\omega$  est la pulsation de la tension  $v_2(t)$  déterminée en B.5 :  $\omega = \omega_{\rm osc} = \omega_0 \left(1 - k \frac{\Delta z}{z_0}\right)$ 

$$\text{Donc } V_{sc} = \frac{V_0^2}{2E} \frac{1 - \left[R_3 C_3 \omega_0 \left(1 - k \frac{\Delta z}{z_0}\right)\right]^2}{1 + \left[R_3 C_3 \omega_0 \left(1 - k \frac{\Delta z}{z_0}\right)\right]^2}$$

Pour que  $V_{sc}$  soit proportionnelle à  $\Delta z$ , il faut choisir  $R_3C_3\omega_0=1$ . Alors :

$$V_{sc} = \frac{V_0^2}{2E} \frac{1 - \left(1 - k\frac{\Delta z}{z_0}\right)^2}{1 + \left(1 - k\frac{\Delta z}{z_0}\right)^2}$$

Au premier ordre en 
$$\dfrac{\Delta z}{z_0}$$
 :  $\boxed{V_{sc} = -\dfrac{V_0^2}{2E} k \dfrac{\Delta z}{z_0}}$ 

C.5. La sensibilité de ce capteur est :  $S = \frac{V_{sc}}{\Delta z}$ 

$$Donc S = -\frac{kV_0^2}{2Ez_0}$$

Soit 
$$S = 2.5 \,\mathrm{V}\,\mathrm{mm}^{-1}$$

- ${\rm C.6.}\,$  Les inconvénients de ce capteur :
  - Ce capteur capacitif ne fonctionne qu'avec des surfaces métalliques planes;

Les avantages de ce capteur :

- Le conditionnement du signal est assez simple;
- la mesure est indépendante de la nature de la surface (à condition qu'elle soit métallique...) ;
- Les mesures électriques sont moins sensibles aux perturbations extérieurs que les mesures magnétiques.